

## فصلنامه علمی- ترویجی پدافند غیرعامل

سال سوم، شماره ۳، پیاپی (۱۱)، پیاپی (۱۳۹)؛ صص ۵۱-۵۷

# مدل‌سازی عددی متا مواد به منظور استفاده در کاربردهای استتاری

داود مجیدی<sup>۱</sup>

تاریخ دریافت: ۹۱/۰۷/۱۰

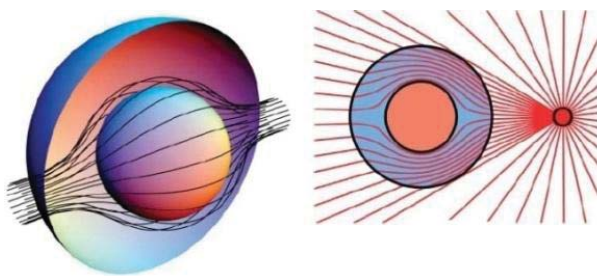
تاریخ پذیرش: ۹۱/۱۰/۰۴

### چکیده

در این مقاله، ابتدا متا مواد از منظری تاریخی بررسی و نیز تکنیک‌های فعال و غیرفعال نامرئی‌سازی معرفی می‌شوند. سپس با توجه به پتانسیل بالای فناوری نامرئی‌سازی غیر فعال در زمینه نظامی، شبیه‌سازی پوشش‌های نامرئی‌ساز با استفاده از نرم‌افزار Comsol ارائه شده است. شبیه‌سازی‌های انجام شده نشان می‌دهند که می‌توان با این روش پوشش‌های نامرئی‌سازی با شکل کاملاً دلخواه طراحی نمود. این موضوع که پوشش نامرئی‌ساز قادر است پرتوهای الکترومغناطیسی را به دور ناحیه داخلی پوشش و بدون ایجاد اختلالی خم کند و از نفوذ موج‌های الکترومغناطیسی به داخل آن ناحیه جلوگیری کند، در تمامی شبیه‌سازی‌های انجام شده به وضوح قابل مشاهده است. همچنین از این ویژگی متا مواد می‌توان برای حفاظت اهداف در برابر تهدیدات الکترومغناطیسی، نظیر پالس‌های الکترومغناطیس قوی استفاده نمود.

**کلیدواژه‌ها:** متا مواد، استتار، پوشش نامرئی‌ساز، شبیه‌سازی، پالس الکترومغناطیسی قوی

فرآیندی را توصیف می‌کند که به وسیله آن می‌توان موج الکترومغناطیسی را کنترل نمود و آنرا از اطراف جسم عبور داد، بدون اینکه با جسم برهمنشی داشته باشد. نتیجه این فرآیند، نامرئی شدن جسم است. از جمله کاربردهای ادوات نامرئی‌ساز می‌توان به نامرئی کردن ادوات جنگی، نامرئی کردن سایتها و مکان‌های استراتژیک از دید دشمن، محافظت مدارهای الکتریکی از پالس‌های الکترومغناطیسی و ... اشاره نمود.



شکل ۱- پوشش‌های نامرئی‌ساز این توانایی را دارند که موج الکترومغناطیسی که بر آنها می‌تابد را از اطراف خود عبور دهنده و جسم درون پوشش را نامرئی سازند.

تاکنون هیچ‌کدام از روش‌های استثمار فعال یا فناوری پنهان‌سازی، قادر به نامرئی‌سازی ایده‌آل اجسام نمی‌باشند. وسیله نامرئی‌ساز کاملاً باید خواص پراکنده‌گی مشابه خلاً داشته باشد. به عبارت دیگر، وسیله و جسمی که می‌خواهند پنهان بمانند باید نوری را بازتاب نکرده و همچنین سایه‌ای ایجاد نکنند. خوشبختانه با استفاده از ساختارهای مصنوعی می‌توان این را انجام داد. این روش درون پوشش را نامرئی سازی کامل اجسام را انجام داد.

روش تبدیل مختصات برای ساخت محیط‌های الکترومغناطیسی با تابع پاسخ مورد انتظار توجه زیادی را به خود جلب کرده است. بر پایه شکل ناوردای معادلات ماکسول تحت تبدیل مختصات، تغییر توپولوژیکی در فضای تبدیل یافته، به طور مؤثری معادل با تغییرات پارامترهای محیط می‌باشد. پندری [۱۱] با استفاده از یک تبدیل خاص، برای اولین بار موفق به طراحی پوشش‌های نامرئی‌ساز کروی و استوانه‌ای شد که این قابلیت در آنها وجود داشت که امواج الکترومغناطیسی را حول ناحیه‌ای هدایت کنند. این کار نظری بلافتله با آزمایشی در محدوده امواج مایکروویو و با استفاده از میانه تأیید شد [۱۲]. روش تبدیل مختصات، یک روش کاملاً عمومی و کلی است و به دست آوردن پارامترهای محیط متشکل از میانه مواد برای شکل و تابع پاسخ خاص بسیار مشکل می‌باشد. برای پوشش‌های نامرئی‌ساز با شکل معلوم، مانند مربع [۱۳] و بیضی [۱۴]، می‌توان با به دست آوردن صورت صحیح تansور تبدیل، میانه مواد و محیط را طراحی نمود.

## ۱- مقدمه

برای کنترل امواج الکترومغناطیسی می‌توان از میانه مواد استفاده نمود. واژه میانه به معنای فراتر یا فرا است و امروزه میانه مواد مرکبی اطلاق می‌شود که ساختار واحد آنها از طول موج تابش فرودی بسیار کوچک‌تر است و خواصی را از خود نشان می‌دهند که به طور طبیعی در مواد مشاهده نمی‌شود.

نخستین کوشش برای کشف مفهوم مواد مصنوعی در اوخر قرن نوزدهم انجام شد، هنگامی که در سال ۱۸۹۸ میلادی، بوز نخستین آزمایش مایکروویو را برای بررسی رفتار ساختارهای تابیده شده انجام داد [۱]. در سال ۱۹۱۴، لیندمان<sup>۲</sup> بر روی محیط‌های کایرال مصنوعی که توسط تعداد زیادی از سیم‌های مارپیچی شکل کوچک که به طور تصادفی در یک محیط قرار گرفته بودند، تحقیق می‌کرد [۲]. همچنین کوک<sup>۳</sup> در سال ۱۹۴۸ موفق به ساخت لنزهای سیک وزن مایکروویو با آرایشی از رساناهای کروی، دیسکی و خطی که به طور تناوبی قرار گرفته بودند، شد و توانست به طور مؤثر، ضربی شکستی را برای محیط مصنوعی ایجاد کند [۳]. در سال ۱۹۹۶ پندری<sup>۴</sup> به طور نظری پایین‌تر از بسامد پلاسماء، ساختار سیم‌های نازک منجر به ضربی گذردگی منفی می‌شد. او در سال ۱۹۹۹ نشان داد [۶] که چگونه می‌توان محیطی که دارای ضربی نفوذپذیری مغناطیسی منفی و رفتار تشیدیدی لورنتسی<sup>۵</sup> می‌باشد را به دست آورد.

زمینه پژوهشی اپتیک تبدیلی که با استفاده از میانه مواد امکان‌پذیر است، در واقع نگرش جدیدی به پایه‌های اپتیک دارد. همانند نسبیت عالم که مکان و زمان در آن به صورت خمیده می‌باشد، در اپتیک تبدیلی نیز فضا برای انتشار امواج الکترومغناطیسی به طور دلخواه خمیده می‌شود. توانایی طراحی و ساخت فضای خمیده اپتیکی، امکان کنترل شارش انرژی الکترومغناطیسی را با دقت نانومتر فراهم می‌کند. نخستین بار رابطه میان انتشار نور و هندسه فضازمان در قرن گذشته و در مقالات تام<sup>۶</sup> [۷، ۸] پایه‌گذاری شده است. همچنین اپتیک تبدیلی بر پایه نتایج بنیادی دولین<sup>۹</sup> [۹] و نلسون<sup>۱۰</sup> [۱۰] پایه‌گذاری شد.

نامرئی‌سازی به وسیله میانه مواد بر پایه اپتیک تبدیلی<sup>۹</sup> می‌باشد و

1- JagadisChunder Bose

2- Lindman

3- Kock

4- Pendry

5- Lorentz

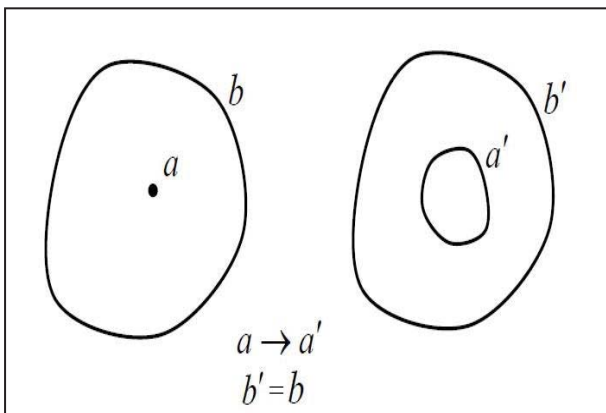
6- Tamm

7- Dolin

8- Nelson

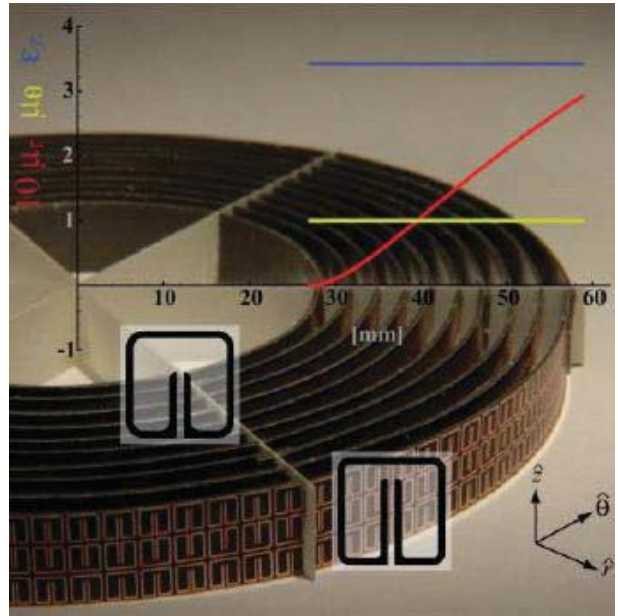
9- Transformation optics

الکترومغناطیسی در دستگاه اصلی از یک نقطه پراکندگی ندارد و همچنین معادلات ماکسول تحت تبدیلات دستگاه مختصات ناوردا است، لذا رفتار موج الکترومغناطیسی در ناحیه بیرونی دو سیستم یکسان است. از آنجا که در سیستم اصلی پراکندگی مشاهده ننمی‌شود لذا در سیستم تبدیل یافته نیز پراکندگی مشاهده نخواهد شد. از آنجا که حجم ناحیه تحت تبدیل کاهاش می‌باید لذا چگالی پرتوهای الکترومغناطیسی نیز در داخل ناحیه افزایش می‌باید. همچنین اگر جسمی در داخل پوشش نامرئی‌ساز قرار گیرد، از دید ناظر بیرونی دیده نخواهد شد؛ زیرا موج الکترومغناطیسی اطراف جسم خم می‌شود و با جسم برهم‌کنشی نخواهد داشت و بنابراین جسم نامرئی می‌شود. همانطور که قبلاً عنوان شد تبدیل مختصات در این دسته از پوشش‌های نامرئی‌ساز باید به گونه‌ای باشد که مرز بیرونی تحت تبدیل مختصات تغییر نکند. همچنین می‌بایست حجم ناحیه در فضای مجازی به لایه‌ای فشرده‌تر در فضای فیزیکی تغییر بابد. تبدیل‌هایی که این دو ویژگی را داشته باشند قابلیت کاربرد برای ساخت و محاسبه پوشش‌های نامرئی‌ساز را خواهند داشت و این تبدیلات یکتا نمی‌باشند. اگرچه می‌توان از پوشش‌های نامرئی‌ساز استوانه‌ای برای نامرئی کردن اجسام با شکل دلخواه استفاده نمود، اما بهتر است که بتوان راهی برای ساخت پوشش‌های نامرئی‌ساز با شکل دلخواه ارائه نمود که در آن، محدودیت شکل خاص پوشش برداشته شود. در صورتی که شکل پوشش نامرئی‌ساز دلخواه باشد آنگاه مشکلی که بلافاصله پیش می‌آید این است که نمی‌توان به آسانی تبدیلی یافت که دو ویژگی ذکر شده را داشته باشند.



شکل ۳- شماتیک تبدیل مختصات برای یک پوشش نامرئی‌ساز دلخواه

همین امر موجب می‌شود که یافتن تبدیل و ساخت پوشش‌های نامرئی‌ساز با شکل دلخواه به صورت نظری غیر قابل حل باشد. در این زمینه تنها راه حل، استفاده از روش‌های عددی برای حل مسئله می‌باشد که در ادامه به آن پرداخته می‌شود.



شکل ۲- ساختار اولین پوشش نامرئی‌ساز در بسالم مایکروویو.

در سال‌های اخیر، برای طراحی پوشش‌های نامرئی‌ساز با شکل غیرمعتارف و بر پایه نظریه تبدیل، روش‌های مختلفی پیشنهاد شده است. یان<sup>۱</sup> به طور نظری نشان داد که ساخت پوشش نامرئی‌ساز دلخواه با تحلیل خواص موج در مرز پوشش امکان‌پذیر است [۱۵]. جیانگ<sup>۲</sup> با استفاده از توابع اسپلاین غیریکنواخت، مرز هندسی پوشش نامرئی‌سازی با شکل نامتعارف را توصیف نمود [۱۶] و با استفاده از آن، پارامترهای محیط را به دست آورد. همچنین برای مشخص نمودن و توصیف مرزهای تصادفی از بسط فوریه متناهی نیز استفاده شده است [۱۷]. در این روش، بعد از به دست آوردن بسط فوریه مرز، خواص محیط محاسبه می‌شود. تمامی پژوهش‌های انجام شده که به آنها اشاره شد، رهیافت‌های نیمه‌تحلیلی و نیمه‌عددی می‌باشند که برای محاسبه تansuor تبدیل، مورد استفاده قرار می‌گیرند.

## ۲- شبیه‌سازی پوشش نامرئی‌ساز با شکل دلخواه

اساس اصلی در پوشش‌های نامرئی‌ساز در این است که حجم مشخصی در فضای اصلی، با استفاده از تبدیل مختصات، به لایه‌ای در دستگاه تبدیل یافته نگاشته شود.

این تبدیل باید دارای دو ویژگی باشد. نخستین ویژگی مهم این است که تحت تبدیل نباید بخش بیرونی حجم تغییر کند. ویژگی دوم این تبدیل این است که نقطه‌ای در دستگاه اصلی باید به یک حجم متناهی داخل مرز بیرونی نگاشته شود. در واقع از آنجا که موج

1- Yan

2- Jiang

بالا می باشد و تنها تفاوت آن این است که در فضای فیزیکی نوشته شده است. لذا خواهیم داشت:

$$\begin{aligned} \left( \frac{\partial^2}{\partial x_1'^2} + \frac{\partial^2}{\partial x_2'^2} + \frac{\partial^2}{\partial x_3'^2} \right) U_i = 0 & \quad i = 1, 2, 3 \\ U(a') = a, U(b') = b & \quad a' < x < b' \end{aligned} \quad (2)$$

که در این رابطه  $U_i$  نماینده مختصات در فضای مجازی است. در مسائل سه بعدی، سه معادله لاپلاس باید حل شود در حالی که در فضای دو بعدی تعداد معادلات لاپلاس که باید حل شود به دو معادله کاهش می یابد. همچنین این روش قابل استفاده در هر بعد فضا می باشد و از این لحاظ محدودیتی ندارد. علاوه براین از آنجا که حل معادله لاپلاس تحت شرایط مرزی دیریکله به صورت عددی کاملاً مسئله معلوم و شناخته شده است، لذا می توان آن را برای هر شکل دلخواهی استفاده نمود. در نتیجه، این روش برای محاسبات پوشش های نامرئی ساز با هر شکل دلخواهی قابل استفاده دارد. بعد از حل معادله (۲) با شرایط مرزی مشخص، می توان مشتقات جزیی اپراتور را محاسبه نمود و با توجه به آن می توان تansسور تغییر مختصات را به دست آورد.

برای شبیه سازی، رفتار موج الکترومغناطیسی فرود آمده بر پوشش نامرئی ساز استوانه ای استفاده می شود. هندسه این سیستم در شکل (۴) آورده شده است. با استفاده از ماثول الکترومغناطیسی این نرم افزار مسئله استوانه رسانی کامل که با پوشش نامرئی ساز احاطه شده است شبیه سازی می شود. در چهار سمت ناحیه ای که شبیه سازی در آن انجام می شود لایه PML قرار دارد. برای داشتن شرایط مرزی دوره ای از این لایه استفاده می شود که وظیفه آن جذب امواج الکترومغناطیسی رسیده به مرز و جلوگیری از بازتابش آن می باشد و همین امر موجب می شود که ناحیه شبیه سازی شده مانند ناحیه ای با مرزه ای بینهایت شود. موج تحت الکترومغناطیسی با قطبش TE از سمت چپ ناحیه، بر روی پوشش فرود می آید.

در این مسئله قبل از انجام شبیه سازی الکترومغناطیسی باید دو معادله لاپلاس به طور عددی حل شوند. سپس با استفاده از حل معادله لاپلاس می توان تانسور تبدیل را به دست آورد. پس از حل معادله لاپلاس، شبیه سازی الکترومغناطیسی پوشش نامرئی ساز استوانه ای انجام می شود.

شکل (۵) نتیجه شبیه سازی انجام شده بر روی این سیستم را نشان می دهد. در این شکل اندازه مولفه عمود بر سطح میدان الکتریکی در نقاط مختلف ناحیه نمایش داده شده است. همان طور که مشاهده می شود موج الکترومغناطیسی از سمت چپ بر روی پوشش نامرئی ساز می تابد و هنگامی که موج از سمت چپ به راست ناحیه پیش می رود دچار تغییر شکل همواری توسط پوشش نامرئی ساز شده

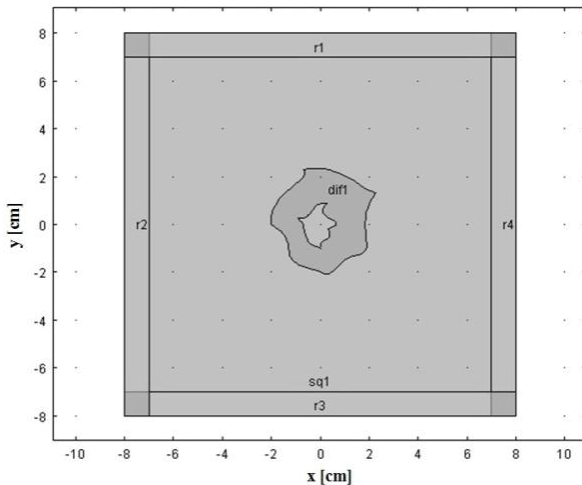
شکل (۳) طرح شماتیک یک پوشش نامرئی ساز با شکل دلخواه را نشان می دهد. فرض کنید که ناحیه ای از فضا در فضای مجازی توسط مرز بیرونی با شکل دلخواه a احاطه شده باشد. ناحیه مورد بررسی در داخل این مرز قرار گرفته است. حال فرض کنید که نقطه ای کاملاً دلخواه در داخل این مرز و در فضای مجازی با نام a انتخاب شود. برای به دست آوردن پوشش نامرئی ساز باید تبدیل مختصاتی بر روی این فضا انجام گیرد. فرض می شود که تحت تبدیل خاصی، نقطه a در فضای مجازی به مرز داخلی a' در فضای فیزیکی نگاشته شود؛ همچنین مرز بیرونی تحت این تبدیل خاص بدون تغییر باقی بماند (b' = b). شرایط مرزی ذکر شده را  $U'(b) = b'$   $U'(a) = a'$  نوشت که در این معادلات اپراتور  $U'$  مختصات جدید نقطه ای در فضای مجازی را تحت تبدیل مختصات محاسبه می کند. حال مسئله این است که چگونه می توان تغییرات این اپراتور در داخل لایه نامرئی ساز را مشخص نمود. انتخاب معمول این اپراتور به صورت اپراتور خطی می باشد، اما باید دقت نمود که لزومی ندارد که این اپراتور حتماً خطی باشد. در صورتی که بتوان اپراتوری پیدا کرد که دو شرط ذکر شده را داشته باشد، حتی در صورت غیرخطی بودن مشکلی نخواهد داشت. اما در پوشش های نامرئی ساز با شکل دلخواه، به دست آوردن اپراتور و در نتیجه، به دست آوردن مشتقات و تغییرات بسیار مشکل است.

برای اینکه بتوان از عملکرد پوشش نامرئی ساز اطمینان حاصل نمود و شرایطی را ایجاد کرد که این پوشش بازتابی ایجاد نکند، باید مشتقات این اپراتور و خود آن پیوسته باشند. لذا این مشتقات باید به اندازه کافی هموار باشند تا بازتابی ایجاد نکنند. از طرفی می دانیم که جواب های معادله لاپلاس با شرایط مرزی دیریکله، هارمونیک می باشند. این موضوع پیشنهاد می دهد که می توان تبدیلات و در نتیجه، تغییرات اپراتور را از حل معادله لاپلاس  $0 = U'$  با شرایط مرزی  $a' = U'(a)$  و  $b' = U'(b)$  به دست آورد. چون جواب های معادله لاپلاس با شرایط مرزی دیریکله هارمونیک می باشند، لذا وجود و پیوستگی مشتقات اپراتور تضمین می شود. در واقع معادله لاپلاس در فضای مجازی به شکل زیر است:

$$\begin{aligned} \left( \frac{\partial^2}{\partial x_1'^2} + \frac{\partial^2}{\partial x_2'^2} + \frac{\partial^2}{\partial x_3'^2} \right) U'_i = 0 & \quad i = 1, 2, 3 \\ U'(a) = a', U'(b) = b' & \quad a < x < b \end{aligned} \quad (1)$$

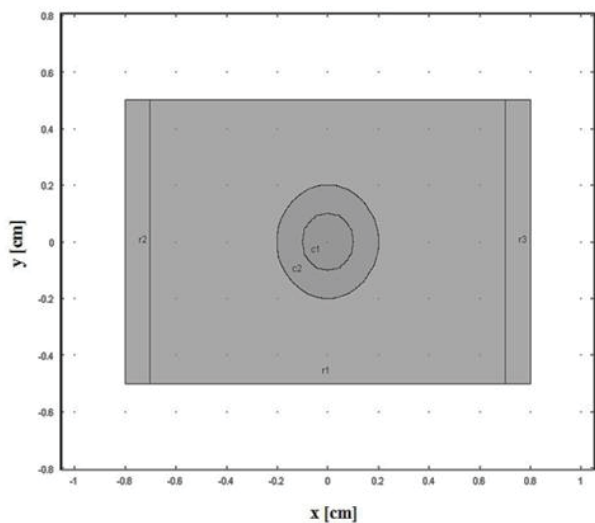
حال می توان این معادلات لاپلاس را به طور عددی حل کرد و برای پوشش های نامرئی ساز با هر شکل دلخواه، تبدیل را به دست آورد. به صورت کاملاً همارز می توان معادله لاپلاس معکوس که در فضای فیزیکی نوشته شده است را نیز حل نمود. این معادله مشابه معادله

سیستم دوم که شبیه‌سازی آن انجام شده است، پوشش نامرئی‌ساز با شکل کاملاً دلخواه می‌باشد که با استفاده از حل عددی معادلات لاپلاس طراحی شده است. تبدیل مختصات برای این شکل دلخواه به وسیله حل معادله لاپلاس به صورت عددی به دست می‌آید و از آن برای شبیه‌سازی رفتار موج الکترومغناطیسی فرود آمده بر پوشش نامرئی‌ساز با شکل دلخواه استفاده می‌شود. هندسه پوشش نامرئی‌ساز با شکل دلخواه در شکل (۶) آورده شده است. با استفاده از مازاول الکترومغناطیسی این نرمافزار، مسئله رسانای کامل با شکل دلخواه که با پوشش نامرئی‌ساز احاطه شده است، شبیه‌سازی می‌شود. در چهار سمت ناحیه‌ای که شبیه‌سازی در آن انجام می‌شود لایه PML قرار دارد. موج تخت الکترومغناطیسی با قطبش TE از سمت چپ ناحیه، بر روی پوشش نامرئی‌ساز فرود می‌آید. در این حالت قبل از شبیه‌سازی الکترومغناطیسی باید دو عادله لاپلاس به طور عددی حل شوند. سپس با استفاده از حل معادله لاپلاس می‌توان تانسور تبدیل را بدست آورد. جواب حل عددی دو معادله لاپلاس در شکل (۷) آورده شده است. پس از حل معادله لاپلاس، شبیه‌سازی الکترومغناطیسی پوشش نامرئی‌ساز استوانه‌ای انجام می‌شود.



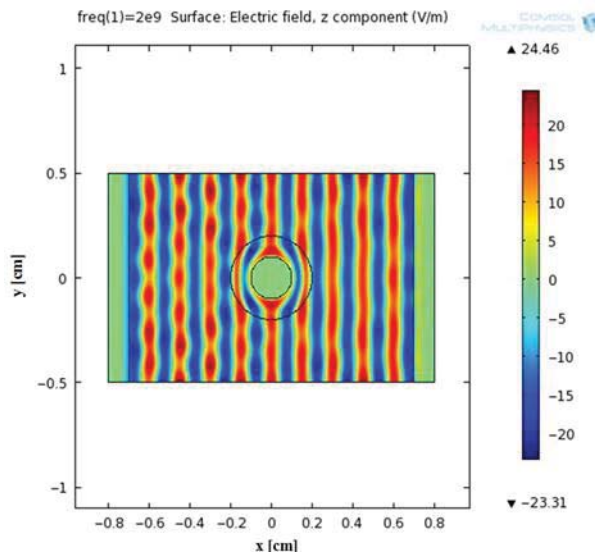
شکل ۶- هندسه پوشش نامرئی‌ساز با شکل کاملاً دلخواه که با استفاده از حل معادله لاپلاس شبیه‌سازی می‌شود

در شکل (۸) نتیجه شبیه‌سازی انجام شده بر روی پوشش نامرئی‌ساز با شکل دلخواه آورده شده است. در این شکل، اندازه مولفه عمود بر سطح میدان الکتریکی در نقاط مختلف ناحیه نمایش داده شده است. همانطور که مشاهده می‌شود موج الکترومغناطیسی از سمت چپ بر روی پوشش نامرئی‌ساز فرود می‌آید و هنگامی که موج از سمت چپ به سمت راست ناحیه پیش می‌رود دچار تغییر شکل هموار توسط پوشش نامرئی‌ساز شده و بدون ایجاد اختلالی به سمت جلو حرکت می‌کند. همچنین همانطور که مشاهده می‌شود موج الکترومغناطیسی

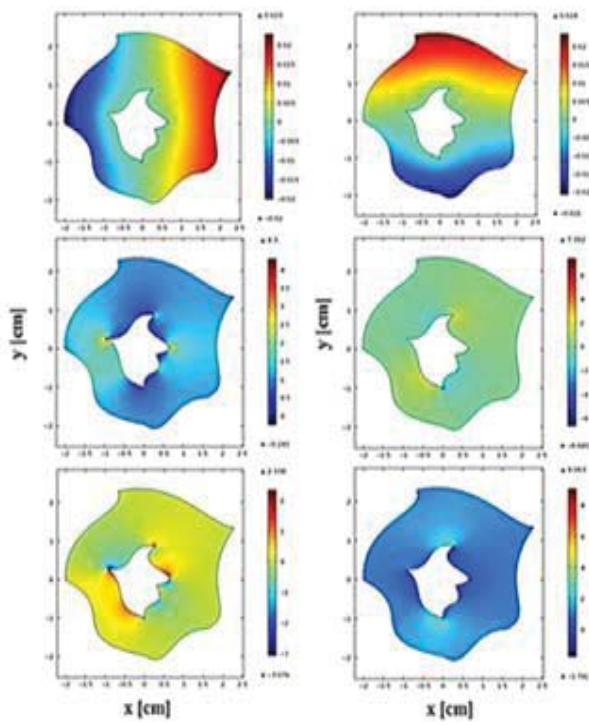


شکل ۴- هندسه پوشش نامرئی‌ساز استوانه‌ای که با استفاده از حل معادله لاپلاس شبیه‌سازی می‌شود.

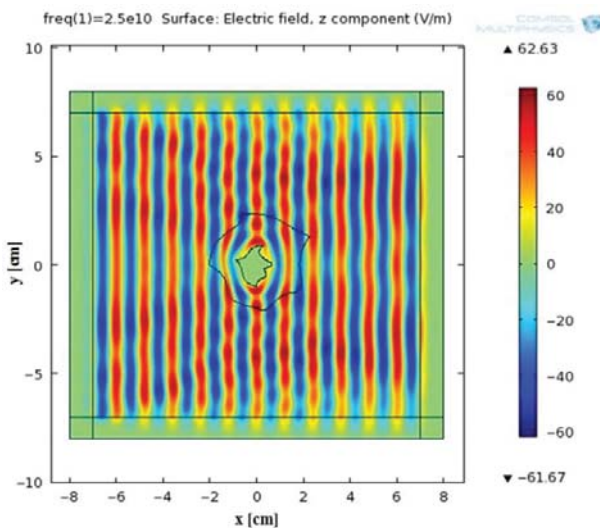
و به سمت جلو طی مسیر می‌کند. همچنین موج الکترومغناطیسی از ناحیه داخلی خارج می‌شود و با اجسام داخلی برهم‌کنشی نخواهد داشت و در واقع دیده نخواهد شد. اگر ناظری در سمت راست قرار گیرد و به امواج الکترومغناطیسی که به او می‌رسد نگاه کند، تغییر و پراکندگی در موج مشاهده نخواهد کرد و این موضع بدان معناست که پوشش نامرئی‌ساز و اجسام داخل آن دیده نخواهد شد. می‌توان مشاهده کرد که با استفاده از تبدیلات غیرخطی که از حل معادلات لاپلاس بدست می‌آیند نیز می‌توان پوشش‌های نامرئی‌ساز بدست آورد.



شکل ۵- اندازه مولفه  $\mathcal{E}$  میدان الکتریکی موج الکترومغناطیسی که بر پوشش نامرئی‌ساز استوانه‌ای فرود آمده است.



شکل ۷- حل معادله لایپلاس در لایه نامرئی‌ساز با شکل دلخواه. سمت چپ شکل و از بالا به پایین به ترتیب مربوط به حل عددی  $X'$ ,  $\partial X / \partial x'$  و  $\partial X / \partial y'$  می‌باشدند. سمت راست شکل و از بالا به پایین به ترتیب مربوط به حل عددی  $y'$ ,  $\partial y / \partial x'$  و  $\partial y / \partial y'$  می‌باشند.



شکل ۸- اندازه مؤلفه  $\hat{z}$  میدان الکتریکی موج الکترومغناطیسی که بر پوشش نامرئی‌ساز با شکل کاملاً دلخواه فرود آمده است.

به ناحیه داخلی وارد نمی‌شود و در نتیجه با هر جسمی که در داخل آن باشد برهم‌کنشی نخواهد داشت. اگر ناظری در سمت راست قرار گیرد و به امواج الکترومغناطیسی که به او می‌رسد نگاه کند، تغییر و پراکندگی در موج مشاهده نخواهد کرد و این موضع بدان معناست که پوشش نامرئی‌ساز و اجسام داخل آن دیده نخواهند شد. پس مشاهده می‌شود که با استفاده از تبدیلات غیرخطی که از حل معادلات لایپلاس به دست می‌آیند می‌توان پوشش‌های نامرئی‌ساز با شکل کاملاً دلخواه را طراحی و محاسبه نمود.

### ۳- جمع‌بندی و نتیجه‌گیری

هیچ‌کدام از روش‌های استثمار فعال قادر به نامرئی‌سازی ایده‌آل اجسام نبوده و تنها تکنیک استثمار غیرفعال که مبتنی بر عدم بازتاب نوری هدف باشد و در عین حال هیچ انرژی نیز جذب نکند، قادر به نامرئی‌سازی ایده‌آل خواهد بود. در نتیجه، این فناوری از پتانسیل بالایی جهت استفاده در ادوات، تجهیزات و یونیفورم‌های پرسنلی افراد نظامی برخوردار می‌باشد.

با توجه به شبیه‌سازی‌های انجام شده می‌توان نتیجه گرفت که ساخت پوشش نامرئی‌ساز با شکل کاملاً دلخواه امکان‌پذیر می‌باشد. نحوه شبیه‌سازی و محاسبات مربوطه در این پژوهه به تفصیل مورد بررسی و تحلیل قرار گرفت. همچنین راهکارهایی عنوان شد که می‌توان با استفاده از آنها پوشش‌های نامرئی‌ساز با شکل کاملاً دلخواه را طراحی نمود. از ویژگی‌های پوشش‌های نامرئی‌ساز این است که برخلاف روش‌های دیگر استثمار که هر یک دارای نقصی می‌باشند و نامرئی‌سازی کامل را امکان‌پذیر نمی‌سازند، این قابلیت را دارد که اجسام داخل پوشش را از دید ناظر بیرونی کاملاً نامرئی نماید. این موضوع می‌تواند در نامرئی‌سازی ادوات مختلف نظامی مانند تانک، هواپیما و ... از دید دشمن مورد استفاده قرار گیرد. همچنین با استفاده از پوشش‌های نامرئی‌ساز می‌توان سایتهاي مهم و استراتژیک را از دید ادوات مختلف سنجش از دور پنهان نمود. علاوه بر این، از جمله کاربردهای دیگری که می‌توان برای این پوشش‌ها متصور شد، استفاده از آنها برای محافظت مدارها و تاسیسات مهم و حیاتی الکتریکی از گزند بمبهای الکترومغناطیسی است. این موضوع که پوشش نامرئی‌ساز قادر است که پرتوهای الکترومغناطیسی را به دور ناحیه داخلی پوشش خم کند و از نفوذ موج‌های الکترومغناطیسی به داخل آن ناحیه جلوگیری کند، در تمامی شبیه‌سازی‌های انجام شده به وضوح قابل مشاهده است. در نتیجه، تجهیزات الکتریکی که در داخل پوشش قرار گرفته‌اند پالس بمب الکترومغناطیسی را احساس نخواهند کرد.

## مراجع

1. J. C. Bose, On the rotation of plane of polarisation of electric waves by a twisted structure, *Proc. Roy. Soc.*, **63**(**1898**) 146.
2. I. V. Lindell, A. H. Sihvola, J. Kurkijarvi, K. F. Lindman, The last Hertzian and a Harbinger of electromagnetic chirality, *IEEE Antennas Propag. Mag.*, **34** (**1992**) 24.
3. W. E. Kock, Metallic delay lenses, *Bell Sys. Tech. J.*, **27** (**1948**) 58.
4. J. B. Pendry, A. J. Holden, W. J. Stewart, I. Youngs, Extremely low frequency plasmons in metallic mesostructures, *Phys. Rev. Lett.*, **76** (**1996**) 4773.
5. J. B. Pendry, A. J. Holden, D. J. Robbins, W. J. Stewart, Low frequency plasmons in thin-wire structures, *J. Phys.: Condens. Matter*, **10** (**1998**) 4785.
6. J. B. Pendry, A. J. Holden, D. J. Robbins, W. J. Stewart, Magnetism from conductors and enhanced nonlinear phenomena, *IEEE Trans. Microwave Theory Tech.*, **47** (**1999**) 2075.
7. I. Y. Tamm, Electrodynamics of an anisotropic medium in the special theory of relativity, *J. Russ. Phys. Chem. Soc.*, **56** (**1924**) 248.
8. I. Y. Tamm, Crystal-optics of the theory of relativity pertinent to the geometry of a biquadratic form, *J. Russ. Phys. Chem. Soc.*, **57** (**1925**) 1.
9. L. S. Dolin, On a possibility of comparing three-dimensional electromagnetic systems with inhomogeneous filling, *Izv. Vyssh.Uchebn. Zaved., Radiofiz.*, **4** (**1961**) 964.
10. M. Lax, D. F. Nelson, Maxwell equations in material form, *Phys. Rev. B*, **13** (**1976**) 1777.
11. [11] J. B. Pendry, D. Schurig, D. R. Smith, Controlling Electromagnetic Fields, *Science* **312** (**2006**) 1780.
12. D. Schurig, J. J. Mock, B. J. Justice, S. A. Cummer, J. B. Pendry, A. F. Starr, D. R. Smith, Metamaterial Electromagnetic Cloak at Microwave Frequencies, *Science*, **314** (**2006**) 977.
13. M. Rahm, D. Schurig, D. A. Roberts, S. A. Cummer, D. R. Smith, Design of Electromagnetic Cloaks and Concentrators Using Form-Invariant Coordinate Transformations of Maxwell's Equations, *Photonics Nanostruc. Fundam.Appl.*, **6** (**2008**) 87.
14. H. Ma, S. B. Qu, Z. Xu, J. Q. Zhang, B. W. Chen, J. F. Wang, Material parameter equation for elliptical cylindrical cloaks, *Phys. Rev. A*, **77** (**2008**) 013825.
15. W. Yan, M. Yan, Z. Ruan, M. Qiu, Coordinate transformations make perfect invisibility cloaks with arbitrary shape, *New J. Phys.*, **10** (**2006**) 043040.
16. W. X. Jiang, J. Y. Chin, Z. Li, Q. Cheng, R. Liu, T. J. Cui, Analytical design of conformally invisible cloaks for arbitrarily shaped objects, *Phys. Rev. E*, **77** (**2008**) 066607.
17. F. Nicolet, F. Zolla, S. Guenneau, Electromagnetic analysis of cylindrical cloaks of an arbitrary cross section, *Opt. Lett.*, **33** (**2008**) 1584.

# Numerical Simulation of Metamaterials with Arbitrary Shapes for Camouflage Applications

D. Majidi<sup>1</sup>

## Abstract

Metamaterials are artificial composites that acquire their electromagnetic properties from embedded subwavelength metallic structures. In theory, the effective electromagnetic properties of metamaterials at any frequency can be engineered to take on arbitrary values, including those not appearing in nature. As a result, this new class of materials can dramatically add a degree of freedom to the control of electromagnetic waves and open new vistas in military camouflage and offer the possibility of target's perfect cloaking. In this paper, we firstly introduce active and passive metamaterials and then we simulate them with arbitrary shapes.

**Key Words:** *Metamaterials, Camouflage, Cloaking, Simulation, Electromagnetic Pulse*

---

1- Department of Camouflage and Concealment, MalekAshtar University (d.majidi@lycos.com)